



## بررسی عددی رفتار الاستیک- پلاستیک و آسیب استخوان کورتیکال با اعمال یک مدل آسیب جدید

مسعود نصیری<sup>۱</sup>، مجتبی ذوالفقاری<sup>۲\*</sup>، وحید طهماسبی<sup>۳</sup>، حامد حیدری<sup>۳</sup>

۱- دانشکده فنی و مهندسی، دانشگاه اراک، اراک، ایران

۲- دانشکده فنی و مهندسی، دانشگاه صنعتی اراک، اراک، ایران

۳- دانشکده فنی و مهندسی، دانشگاه شهرکرد، شهرکرد، ایران

### تاریخچه داوری:

دریافت: ۱۴۰۰/۰۸/۱۹

بازنگری: ۱۴۰۱/۰۲/۰۲

پذیرش: ۱۴۰۱/۰۳/۱۰

ارائه آنلاین: ۱۴۰۱/۰۴/۰۳

### کلمات کلیدی:

استخوان کورتیکال

الاستیسیته

پلاستیسیته

آسیب

جراحی ارتوپدی

**خلاصه:** به دلیل نیازهایی که در جراحی‌های ارتوپدی وجود دارد، رفتار مکانیکی استخوان کورتیکال در بارگذاری سیکنی و نرخ کرنش فیزیولوژیک، مورد بررسی قرار گرفته است. تأکید بر روی توسعه قانون ساختاری است که بتواند رفتار حین بارگذاری، باربرداری و بارگذاری مجدد که در آزمایش‌ها مشاهده شده را ایجاد کند. این مدل‌ها با ترکیب المان‌های رئولوژیک و اصول انرژی فرمول‌بندی خواهند شد. ابتدا دو مدل یک‌بعدی مستقل از نرخ کرنش فرمول‌بندی شده، یکی دارای یک متغیر آسیب و دیگری دارای دو متغیر آسیب مجزا در کشش و فشار است، مورد بررسی قرار گرفته و با استفاده از داده‌های آزمایشگاهی، ضرایب هر مدل به دست آمده است. با مقایسه نتایج شبیه‌سازی و داده‌های آزمایشگاهی، اصلاح لازم بر روی مدل‌ها صورت گرفته است. در نهایت با ترکیب معیار تسلیم ناهمسانگرد برسلر- پیستر و مدل یک‌بعدی مستقل از نرخ همراه دو متغیر آسیب، مدل سه‌بعدی متناظر حاصل شد. این مدل سه‌بعدی در قالب روش اجزاء محدود صریح پیاده‌سازی شده و نتیجه آن با نتایج شبیه‌سازی مدل یک‌بعدی و داده‌های تجربی سازگاری قابل قبولی نشان داد. این مدل سه‌بعدی مناسب شبیه‌سازی هندسه‌های پیچیده خواهد بود. ضریب تعیین برای مدل‌های یک‌بعدی،  $RI \pm$ ،  $RI$ ،  $RI \pm$ ،  $RI$  اصلاح شده و مدل سه‌بعدی به ترتیب مقادیر  $0.996279$ ،  $0.995508$ ،  $0.965665$ ،  $0.882174$  و  $0.984866$  حاصل شده است.

**۱- مقدمه**  
بی‌نقص بودن اسکلت<sup>۱</sup> به‌عنوان عضو حامل بار و حفاظت‌کننده از اعضای حیاتی بدن در برابر عوامل خارجی، برای سلامتی انسان بسیار ضروری است. استخوان‌بندی به‌عنوان عضو حامل بار در فعالیت‌های فیزیکی و حفاظت‌کننده از اعضای حیاتی بدن در برابر عوامل خارجی کاربرد دارد. استخوان براساس ظاهر ماکروسکوپی<sup>۲</sup> به دو نوع کورتیکال<sup>۳</sup> و تراپیکولار<sup>۴</sup> تقسیم‌بندی شده است. تفاوت این دو نوع بافت از روی میزان تخلخل مشخص می‌شود. استخوان کورتیکال میزان تخلخل حدود ۵-۱۰ درصد است و تقریباً ۸۰ درصد جرم اسکلت را تشکیل می‌دهد. از طرف دیگر استخوان تراپیکولار دارای میزان تخلخل بین ۴۵-۹۵ درصد است و تقریباً ۲۰ درصد جرم اسکلت را تشکیل داده است [۱].

- 5 Rate
- 6 Damage
- 7 Elastic
- 8 Physical therapy
- 9 Biomaterial

- 1 Skeleton
- 2 Macroscopic
- 3 Cortical
- 4 Trabecular

\* نویسنده عهده‌دار مکاتبات: m-zolfaghari@araku.ac.ir

حقوق مؤلفین به نویسندگان و حقوق ناشر به انتشارات دانشگاه امیرکبیر داده شده است. این مقاله تحت لیسانس آفرینندگی مردمی (Creative Commons License) در دسترس شما قرار گرفته است. برای جزئیات این لیسانس، از آدرس <https://www.creativecommons.org/licenses/by-nc/4.0/legalcode> دیدن فرمائید.



پلاستیک قسمت کوچکی را قبل از شکستگی، نشان می‌دهد، و مدل توسعه یافته از طریق زیرروال مواد کاربرد<sup>۹</sup> یومت<sup>۱۰</sup> در نرم‌افزار ال‌اس-دیانا<sup>۱۱</sup> پیاده‌سازی شده است. در تحقیقی دیگر لی و همکاران [۹] یک مدل الاستو ویسکوپلاستیک برای بیان رفتار استخوان تراکولار غیرخطی تحت بارهای فشاری ارائه دادند. این مدل نیز به‌عنوان یک زیرروال ماده تعریف شده توسط کاربر در کد تجزیه و تحلیل المان محدود تعریف شد و نتایج شبیه‌سازی با نتایج تست‌های فشار بر روی استخوان تراکولار مقایسه و مدل ساختاری پیشنهادی، روش محاسباتی و کتابخانه مواد تأیید شد. آزمایش نفوذ<sup>۱۲</sup>، تست دیگری است که پاولیکوفسکی و همکاران [۱۰] با استفاده از آن مدل میکروساختاری جدید برای استخوان تراکولار انسان با خاصیت ویسکوالاستیک غیرخطی، را استخراج کردند. مدل ساختاری با استفاده از زیربرنامه یومت در نرم‌افزار المان محدود اباکوس پیاده‌سازی شد، در نهایت، رفتار ویسکوالاستیک پیش‌بینی شده بافت توسط مدل ساختاری پیشنهادی به‌خوبی با پاسخ واقعی استخوان تراکولار مطابقت داشت. در یکی از تحقیقات اخیر، رفتار تجربی و عددی تست خزش سیکلی و بازیابی<sup>۱۳</sup> استخوان کورتیکال گاو مورد بررسی قرار گرفت. لوورنیچ و همکاران [۷] مدل ساختاری ویسکوالاستیک، ویسکوپلاستیک و آسیب یک‌بعدی را توسعه داده و یک الگوریتم کارآمد برای انتگرال‌گیری مدل ساختاری پیشنهادی ماده با استفاده از زیرروال مواد کاربر در نرم‌افزار اجزای محدود اباکوس استخراج و پیاده‌سازی شد. الگوریتم محاسبات یک توانایی خوب برای توصیف رفتار کششی استخوان کورتیکال گاو برای شرایط مکانیکی خاص را نشان می‌دهد. در مطالعه‌های دیگر، میرزاعلی و همکاران [۱۱] با هدف شناسایی برهم‌کنش آسیب پیوسته بین حالت‌های بارگذاری کششی و فشاری در ساختارهای ایمپلنت-استخوان، یک مدل ساختاری یک بعدی جدید را ارائه دادند، که نشان می‌دهد که چگونه آسیب جمع شده<sup>۱۴</sup> در یک حالت بارگذاری<sup>۱۵</sup> بر رفتار مکانیکی در حالت بارگذاری دیگر تأثیر می‌گذارد. ان‌جی و همکاران [۱۲] روند شکست فشاری استخوان کورتیکال براساس یک مدل آسیب را بررسی نمودند. آن‌ها با استفاده از یک مدل پلاستیک آسیب ترده، پاسخ ساختاری و روند شکست استخوان کورتیکال را با استفاده از چندین تست فشاری ارزیابی کردند. نتایج شبیه‌سازی المان محدود نشان داد که آسیب فشاری در منطقه

رفتار بافت استخوان، تحت بارگذاری سیکلی<sup>۱</sup>، بالاتر از حد الاستیک و همراه نرخ کرنش متوسط را داشته باشد.

رفتار مکانیکی استخوان با توجه به بار مکانیکی که در معرض آن قرار دارد، متفاوت است و تأثیر پاسخ آن عمدتاً به چگونگی اعمال بار بستگی دارد. بنابراین، برای ارزیابی استحکام آن، اندازه‌گیری شاخص‌های کنترل‌کننده کیفیت استخوان مورد نیاز است [۳]. در تحقیقی گارسیا [۴] با هدف برنامه‌های کاربردی در جراحی‌های ارتوپدی، فک و صورت، قوانین ساختاری الاستیک-پلاستیک و آسیب مستقل از نرخ و وابسته به نرخ کرنش فیزیولوژیکی در بارگذاری سیکلی برای استخوان کورتیکال را محاسبه نموده است. او برای تدوین قوانین ساختاری از توالی بارگذاری، باربرداری و بارگذاری مجدد<sup>۲</sup> طی فرایند آزمایشگاهی تست کشش استفاده کرده است. او در پژوهشی دیگر، قانون ساختاری سه بعدی توصیف کننده رفتار مکانیکی ماکروسکوپی<sup>۳</sup> الاستیک-پلاستیک و آسیب سه‌بعدی مستقل از نرخ کرنش مربوط به بافت استخوان، را با توجه به تجزیه و تحلیل سیستم‌های ایمپلنت-استخوان، پیشنهاد کرد. مدل پیشنهادی یک فرمول‌بندی ریاضی را در چارچوب مواد استاندارد تعمیم یافته<sup>۴</sup> ایجاد و برای سه مد کامل متمایز مواد که جنبه‌های الاستیک، پلاستیک و آسیب نزدیک به هم دارند، بررسی کرد [۵]. گارسیا و همکاران [۶] در ادامه پژوهش‌های خود، یک قانون ساختاری یک‌بعدی مستقل از نرخ کرنش برای استخوان فشرده<sup>۵</sup>، به‌جهت شبیه‌سازی تجمع آسیب<sup>۶</sup> در هنگام بارگذاری کششی یا فشاری، ارائه دادند. مارتینا و همکاران [۷] براساس داده‌های تجربی، یک مدل ساختاری یک‌بعدی ویسکوالاستیک پلاستیک-آسیب را توسعه داده‌اند. این مدل می‌تواند رفتار غیرخطی بافت استخوان کورتیکال تحت شرایط بارگذاری خزش-بازیابی را پیش‌بینی کرده و با استفاده از زیرروال‌های کاربر در نرم‌افزار اجزای محدود اباکوس پیاده‌سازی شده است. لی و همکاران [۸] یک مدل ساختاری الاستیک-پلاستیک همسانگرد عرضی<sup>۷</sup> وابسته به نرخ کرنش برای توصیف رفتار استخوان اسفنجی<sup>۸</sup> ایجاد کردند. تست‌های فشاری با نرخ کرنش از ۰/۰۱ تا ۱۰ برثانیه در جهت محوری و شعاعی انجام شد. در منحنی‌های تنش-کرنش بدست آمده قسمت عمده را مرحله الاستیک خطی و مرحله

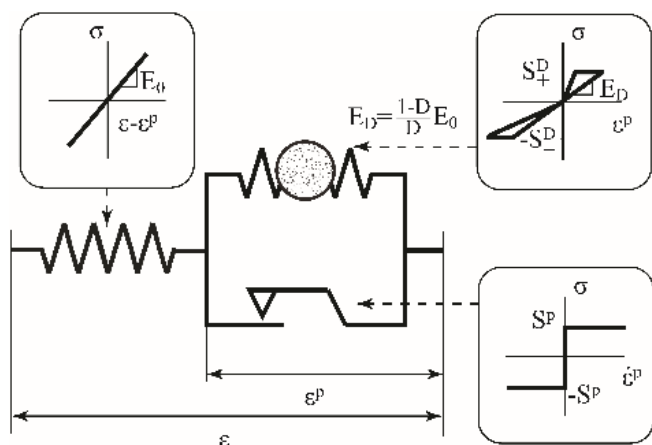
9 User material subroutine  
10 UMAT  
11 LS-DYNA  
12 Indentation  
13 Recovery  
14 Accumulated  
15 Loading mode

1 Cyclic  
2 Loading, unloading, and reloading  
3 Macroscopic  
4 Generalized standard materials  
5 Compact  
6 Damage accumulation  
7 Transverse  
8 Cancellous

یکی از حادترین کرنش پلاستیک معادل<sup>۱</sup> محاسبه می‌شود، آغاز شده و منتشر می‌شود، که هم‌زمان با تخریب<sup>۲</sup> سختی فشاری و به دنبال آن مقدار زیادی از اتلاف انرژی کرنش است. در یکی از مطالعات اخیر، رنگ و لو [۱۳] یک مدل ساختاری نیمه تجربی برای توصیف رفتار پس از تسلیم استخوان براساس روابط تجربی مدول الاستیک، کرنش پلاستیک و پاسخ‌های ویسکوالاستیک استخوان با کرنش اعمال شده پیشنهاد کردند. در این مدل، یک تابع نمایی برای توصیف افت مدول (انباشت آسیب) با افزایش کرنش اعمال شد. علاوه بر این، یک تابع قانون توانی برای توصیف افزایش تغییر شکل پلاستیک با تجمع آسیب استفاده شد. در نهایت، مدل ویسکوالاستیک خطی برای توصیف رفتار ویسکوالاستیک استخوان به عنوان تابع زمان و نرخ بارگذاری پیشنهاد شد. برای تأیید مدل، تمام ثابت‌های ماده مورد نیاز برای روابط تجربی بین مدول یانگ، تغییر شکل پلاستیک، تغییر شکل ویسکوالاستیک و تغییر شکل اعمال شده با استفاده از یک پروتکل بارگذاری پیش‌رونده جدید روی استخوان کورتیکال انسان به دست آمد. سپس، منحنی تنش-کرنش یکنواخت به دست آمده از نمونه‌های استخوان، مدل ساختاری پیشنهادی برازش داده شد و ثابت‌های ماده پیش‌بینی و با نمونه‌های تجربی مقایسه شد. تجزیه و تحلیل نشان داد که مدل ساختاری پیشنهادی در ارزیابی رفتار استخوان پس از تسلیم دقیق است. در پژوهشی دیگر، پاولیکوفسکی و بارسز [۱۴] یک قانون ساختاری براساس مطالعات تجربی انجام شده بر روی نمونه‌های استخوان کورتیکال گاو را استخراج نمودند. بافت استخوان به عنوان یک ماده ویسکوالاستیک غیرخطی در نظر گرفته شده و قانون ساختاری از تابع انرژی کرنش فرضی<sup>۳</sup> گرفته شده است. ثابت‌های الاستیک و رئولوژیکی براساس تست‌های آزمایشگاهی، در سه نرخ کرنش مختلف مشخص شدند. به منظور اعتبارسنجی عددی مدل ساختاری، تانسور مرتبه چهارم سختی با استفاده از زیربرنامه کاربر یومت به نرم‌افزار اجزای محدود آباکوس معرفی شد. نتایج نشان می‌دهد مدل ساختاری فرموله شده در مدل‌سازی رفتار فشاری استخوان تحت دامنه‌های مختلف بار بسیار مفید است. شویدرزیک و زیست [۱۵] یک مدل ساختاری آسیب الاستیک ویسکوپلاستیک ناهمسانگرد جدید برای استخوان با استفاده از یک معیار تسلیم بیضوی خارج از مرکز<sup>۴</sup> و سخت شوندگی ایزوتروپی غیرخطی<sup>۵</sup> ارائه دادند. یک الگوریتم عددی در حلگر نرم‌افزار المان محدود آباکوس به عنوان

یک زیربرنامه کاربر یومت، توسعه داده و اجرا شده است. رماچ و همکاران [۱۶] مدل سخت شدن ناهمسانگرد را در شبیه‌سازی اجزای محدود نانوتورفتگی استخوان کورتیکال برای پیش‌بینی رفتار مکانیکی استفاده کردند. مدل جانسون-کوک به عنوان مدل ساختاری انتخاب شده و برای شناسایی ثابت‌های مجهول مواد از مدل‌سازی اجزای محدود در ترکیب با بهینه‌سازی عددی استفاده شده و سپس حل‌های اجزای محدود با نتایج تجربی مقایسه شدند که تطابق خوبی بین منحنی‌های عددی با منحنی‌های بارگذاری هدف پیدا شده است. پراساناونکاتسان و پاندیتوان [۱۷] مدل کاپر-سیموندز، مدل جانسون-کوک و ترکیب مدل جانسون-کوک و کاپر-سیموندز در نرخ‌های کرنش مختلف را برای شبیه‌سازی برش استخوان مورد استفاده قرار دادند. نمونه‌های تهیه شده با استفاده از دو استخوان ران عقب برداشت شده از یک گاو سه و نیم ساله با نرخ‌های مختلف کرنش مورد بررسی قرار گرفتند. مطالعه نسبی انجام شده در میان تنش‌های پیش‌بینی شده از این مدل‌ها نشان داد که میانگین درصد خطای مطلق با استفاده از مدل کاپر-سیموندز  $۱۰/۲۹،۹۱/۴۱$  و  $۱۱/۱۱$  درصد و با استفاده از مدل جانسون کوک  $۲/۰۳$ ،  $۷/۱۹$  و  $۳/۶۲$  درصد به ترتیب برای نرخ‌های کرنش  $۰/۰۰۰۱$ ،  $۰/۰۰۱$  و  $۱$  بر ثانیه بوده است. با این حال، ترکیب مدل جانسون-کوک همراه با مدل کاپر-سیموندز تنش را با حداکثر  $۲/۰۳$  درصد میانگین درصد مطلق خطا پیش‌بینی کرده است. لی و همکاران [۱۸] از روش میله فشاری هاپکینسون برای آزمایش استخوان کورتیکال گاو، جهت به دست آوردن منحنی‌های تنش-کرنش وابسته به نرخ کرنش استفاده کردند. یک رابطه ساختاری تحت تأثیر نرخ کرنش و خواص ویسکوالاستیک استفاده شده است. در این مدل، الاستیک خطی با اجزای ویسکوالاستیک غیرخطی برای توصیف وابستگی غیرخطی به نرخ کرنش ترکیب شده است. از نظر بافت‌شناسی، بار بیش از حد استخوان در کشش و فشار منجر به تمایز اندازه، توزیع و جهت‌گیری ترک می‌شود که طی بارگذارهای ترکیبی مختلف با یکدیگر تعامل دارند، مدل‌های رئولوژیکی می‌تواند این روند را توصیف کرده و منحنی‌های تنش-کرنش تجربی را با واقع‌گرایی بی‌سابقه تولید کنند. یک مدل مستقل از نرخ کرنش، توسط زیست و ولفرام [۱۹] برای بافت استخوان به همراه برهم‌کنش آسیب میکروساختار بین حالت کششی و فشاری استخراج کردند. بررسی آن‌ها نشان داد تجمع میکرو آسیب باعث تخریب<sup>۶</sup> مدول الاستیک و کاهش استحکام استخوان خواهد شد. مطابقت کیفی مدل با آزمایشات تجربی امکان بررسی بیومکانیکی استخوان‌ها و

- 1 Maximum equivalent plastic
- 2 Degradation
- 3 Postulated
- 4 Eccentric elliptical
- 5 Nonlinear isotropic hardening



شکل ۱. آرایش المان‌های رئولوژیکی یک‌بعدی برای مدل‌های مستقل از نرخ [۴]

Fig. 1. Arrangement of one-dimensional rheological elements for rate-independent models [4]

رئولوژیکی تمام مدل‌های یک‌بعدی از اتصال سری یک فنر الاستیک اصلی با المان آسیب تشکیل شده که المان آسیب خود از اتصال موازی یک فنر الاستیک آسیب‌پذیر فرعی با مانع پلاستیک تشکیل شده است. فنر الاستیک فرعی دارای دو تنش آستانه آسیب مجزا در کشش و فشار است. فنر الاستیک فرعی در مدل‌های  $RI$  و  $RI \pm$ ، متحمل آسیب مستقل از نرخ است، شکل ۱.

#### ۲-۱ مدل $RI$

معرفی حداقل دو متغیر حالت درونی برای در نظر گرفتن پیشینه ماده و فرآیندهای اتلاف، ضروری است [۴]. مقدار آسیب به وجود آمده در ماده توسط متغیر آسیب  $D$  بیان می‌شود که نشان‌دهنده کاهش سختی ماده است.  $D = 0$  نشانگر ماده سالم و  $D \rightarrow 0$  نشانگر ماده آسیب‌دیده به صورت کامل است. مدل  $RI$  توسط سه متغیر مستقل کرنش  $\epsilon$ ، کرنش پلاستیک  $\epsilon^p$  و  $0 \leq D < 1$  معین می‌شود.

مدول الاستیک استخوان کورتیکال سالم با  $E > 0$  نشان داده می‌شود و توسط فنر الاستیک خطی اصلی مدل می‌شود. همچنین سه تابع وابسته به آسیب استفاده می‌شود. اولی تابع سخت‌شوندگی پلاستیک  $S^p(D) \geq 0$  است که برای نشان دادن افزایش تنش تسلیم پلاستیک نسبت به افزایش آسیب، تعریف می‌شود. دو تابع دیگر، توابع سخت‌شوندگی آسیب  $S_+^D(D) > 0$  و  $S_-^D(D) > 0$  هستند که به ترتیب برای نشان دادن تغییر تنش آستانه آسیب در کشش و فشار نسبت به تغییر آسیب، تعریف

سیستم‌های ایمپلنت-استخوان را در معرض بارهای سیکلی در تنش و فشار را فراهم می‌کند. کرایم و همکاران [۳] با رویکرد محاسباتی، رفتار مکانیکی استخوان کورتیکال براساس یک مدل ساختاری را بررسی نموده و ناهمسانگردی، ویسکوپلاستیک بودن و آسیب را در قانون رفتار مواد وارد کرده و تکامل آسیب براساس بارگذاری اعمال شده را رسم نمودند. این مدل محاسباتی جدید درک بهتری از پارامترهای اصلی مؤثر بر رفتار استخوان را فراهم می‌کند.

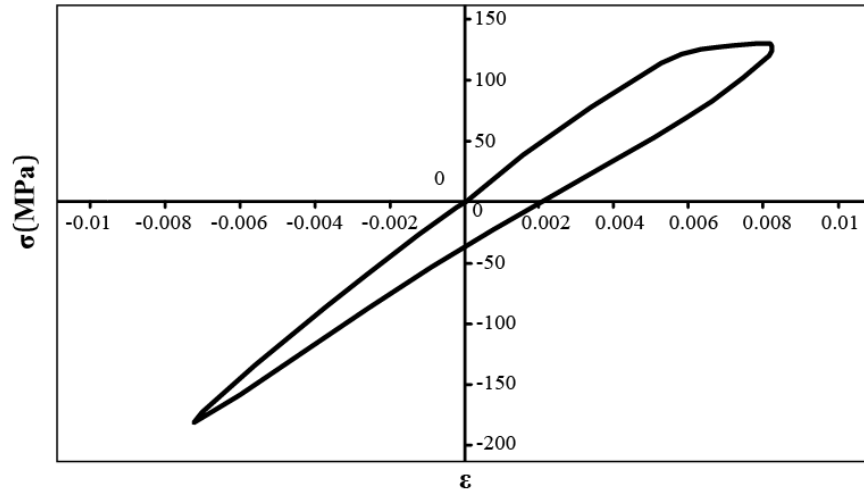
مکانیزم تکامل آسیب همراه با معیار تسلیم به‌عنوان یکی از موضوعات نامشخص در تجزیه و تحلیل شکست مواد استخوان کورتیکال در نظر گرفته شده است. در این پژوهش، فرمول‌بندی دو مدل یک‌بعدی مستقل از نرخ کرنش برای استخوان کورتیکال بیان خواهد شد. یکی از آن‌ها شامل دو متغیر آسیب مجزا در کشش و فشار و دیگری تنها دارای یک متغیر آسیب هستند. بنابراین هدف اولیه محاسبه ضرایب مربوط به هر مدل توسط تطابق با داده‌های آزمایشگاهی بوده، سپس نتایج عددی هر مدل با داده‌های تجربی مقایسه می‌شود. در نهایت، با انتخاب معیار تسلیم مناسب سه‌بعدی سازی مدل یک‌بعدی به‌روشی جدید انجام می‌گیرد و از مدل سه‌بعدی به‌دست‌آمده برای شبیه‌سازی یک مورد مطالعاتی استفاده می‌شود.

#### ۲-۲ مدل رئولوژیکی<sup>۱</sup> یک‌بعدی و تعریف متغیرها

هدف این مدل رئولوژیکی توصیف رفتار مکانیکی ماکروسکوپی مشاهده شده از بافت استخوان در شرایط بارگذاری چرخه‌ای است. با توجه به داده‌های تجربی حاصل از بارگذاری سیکلی [۴]، می‌توان سه مد<sup>۲</sup> اصلی تغییرشکل برای بافت استخوان در نظر گرفت، ناحیه اول مربوط به نمودار این داده‌ها، الاستیک خالص با سختی الاستیک است، ناحیه دوم، مد آسیب، که مربوط به تولید و باز شدن ریز ترک‌ها است که منجر به کاهش مدول و تجمع کرنش می‌شود. ناحیه سوم، مد پلاستیک، به دلیل اصطکاک ناشی از لغزش ریز ترک‌ها است که منجر به کرنش‌های ماندگار<sup>۳</sup> شده، اما موجب افزایش آسیب نمی‌شود.

در ابتدا، دو قانون ساختاری الاستیک-پلاستیک و آسیب یک‌بعدی و مستقل از نرخ بررسی می‌شود. که اولی تنها دارای یک متغیر آسیب است و با علامت  $RI$  نشان داده می‌شود. دومی دارای دو متغیر آسیب مجزا در حالت کشش و فشار است که با علامت  $RI \pm$  نشان داده می‌شود. آرایش

1 Rheological  
2 Mode  
3 residual



شکل ۲. منحنی سیکلی تنش-کرنش در نرخ کرنش فیزیولوژیکی مربوط به بافت استخوان کورتیکال [۵]

Fig. 2. Stress-strain cycle curve at physiological strain rate related to cortical bone tissue [5]

$$S_+^p(D_-) = \chi^p (1 - \exp(-ID_-)) \quad (۳)$$

می‌شوند [۴].

$$S^p(D) = \chi^p (1 - \exp(-ID)) \quad (۱)$$

$$S_-^p(D_+) = \chi^p (1 - \exp(-ID_+)) \quad (۴)$$

$$S_{\pm}^D(D) = S_{0\pm}^D (1 + \chi^D (1 - \exp(-kD))) \quad (۲)$$

توابع سخت‌شوندگی آسیب نیز مشابه قبل تعریف می‌شود [۴]:

$$S_{\pm}^D(D_+, D_-) = S_{0\pm}^D (1 + \chi^D (1 - \exp(-k(D_+ + D_-)))) \quad (۵)$$

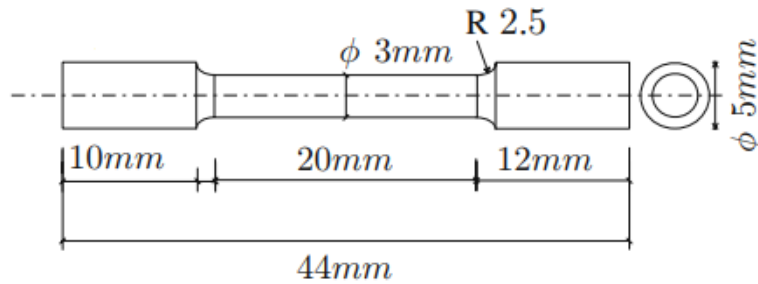
$X^p \geq 0$  و  $I > 0$  ضرایب سخت‌شوندگی پلاستیک هستند.  $S_{\pm}^D$  به ترتیب تنش‌های اولیه آستانه آسیب در کشش و فشار هستند.  $X^D$  و  $k > 0$  ضرایب سخت‌شوندگی آسیب هستند. بنابراین شش ثابت به‌طور کامل مدل  $RI$  را برای استخوان کورتیکال مشخص می‌کنند.

### ۲-۱-۱-۲ مدل $RI \pm$

در این مدل از دو متغیر آسیب استفاده می‌شود و به نسبت مدل  $RI$ ، دارای پیچیدگی بیشتری است. وضعیت آسیب توسط دو متغیر آسیب کششی  $D_+$  و آسیب فشاری  $D_-$  توصیف می‌شود. آرایش المان‌های رئولوژیکی مدل  $RI \pm$  همانند مدل  $RI$  است، شکل ۱. با توجه به ناهمسانگرد بودن سخت‌شوندگی در این مدل، دو تابع سخت‌شوندگی  $S_+^p(D_-)$  و  $S_-^p(D_+)$  به‌جای  $S^p(D)$  تعریف می‌شوند [۴]:

### ۳- معین‌سازی ضرایب مدل‌های یک‌بعدی و شبیه‌سازی عددی

جهت به‌دست آوردن ضرایب هر مدل برای استخوان کورتیکال نیاز به داده‌های تجربی خواهد بود. این داده‌ها باید شامل مقادیر تنش و کرنش در یک سیکل کششی-فشاری همراه نرخ کرنش مشخص باشند، تا بتوان تمام ضرایب مدل را مشخص کرد. در این‌جا از داده‌هایی که در کارهای قبلی به‌دست آمده استفاده شده است [۵]. این داده‌ها که در ابتدا با نمودار در دسترس بودند، توسط نرم‌افزار گت‌دیتا<sup>۱</sup> رقوم‌سازی شده و نتیجه در شکل ۲ آمده است. منحنی تنش-کرنش در شکل ۲ مربوط به نرخ کرنش  $3/4 \times 10^{-3}$  بر ثانیه است. نمونه تحت آزمایش، دمبلی شکل با مقطع دایره‌ای به قطر ۳ میلی‌متر و طول ۲۰ میلی‌متر می‌باشد، شکل ۳.



شکل ۳. هندسه نمونه کششی استخوان کورتیکال گاو

Fig. 3. Sample geometry of bovine cortical bone tension

جدول ۱. ضرایب مدل  $RI \pm$  و  $RI$

Table 1. Coefficients of models  $RI$  and  $RI \pm$

مدل $RI \pm$	مدل $RI$	واحد	ضرایب
۲۵۰۰۰	۲۵۰۰۰	مگاپاسکال	$E$
۲	۴	مگاپاسکال	$S_{+}^D$
۳/۸	۹/۶	مگاپاسکال	$S_{-}^D$
۷۹/۹	۵۲/۹	مگاپاسکال	$\chi^P$
۶۵	۱۹/۸	-	$\chi^D$
۱۵	۱۵/۳	-	$k$
۲۱/۹	۶/۱	-	$l$

داده‌های تجربی به دست آمده است. ضرایب به دست آمده در جدول ۱ فهرست شده‌اند.

نتایج شبیه‌سازی عددی مدل‌های یک‌بعدی  $RI$  و  $RI \pm$  در مقایسه با داده‌های تجربی، به ترتیب در شکل‌های ۴ و ۵ رسم شده‌اند و ضریب تعیین<sup>۳</sup> به ترتیب برای مدل یک‌بعدی  $RI$  و  $RI \pm$  مقادیر ۰/۸۸۲۱۷۴ و ۰/۹۶۵۶۶۵ بدست آمده و علت آن در نظر گرفتن اثر سرعت در المان پلاستیک و در المان آسیب است.

با مقایسه داده‌های تجربی و نتایج اجرای عددی مدل‌ها، مشخص شده است که مدل با احتساب دو متغیر مجزا آسیب در کشش و فشار، دارای دقت بیشتری در پیش‌بینی نتایج تجربی خواهد بود. حال که ضرایب مدل‌ها در

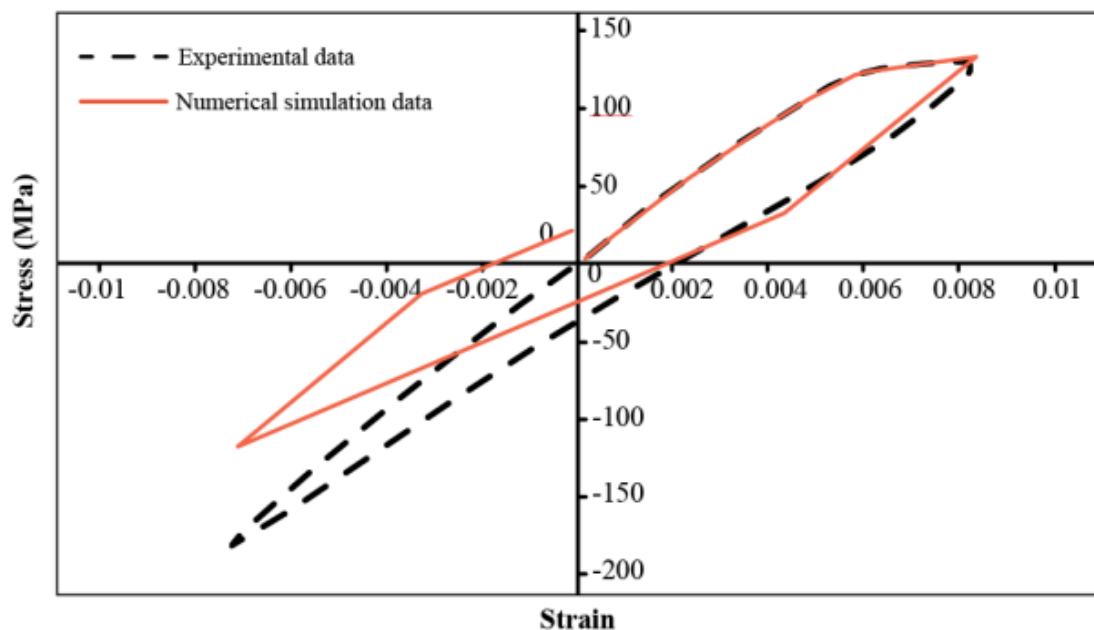
به منظور اجرا عددی هر یک از مدل‌های یک‌بعدی، الگوریتم عددی هر یک را با استفاده از برنامه‌نویسی به زبان فرترن<sup>۱</sup>، پیاده‌سازی شده است. با قرار دادن برنامه‌ها در حلقه‌های بهینه‌سازی و استفاده از روش حداقل مربعات<sup>۲</sup> برای نزدیک کردن نتایج عددی به داده‌های تجربی، ضرایب مدل‌ها به دست آمده است. با استفاده از این روش و قسمت بارگذاری کششی داده‌های تجربی، ضرایب  $S_{+}^D$ ،  $S_{-}^D$  و  $X^D$  و  $k$  با قسمت باربرداری داده‌ها، ضرایب  $X^P$  و  $l$  معین خواهند شد و به وسیله داده‌های مربوط به بارگذاری فشاری ضریب  $S_{-}^D$  مشخص شده است. لازم به ذکر است که ضریب مدول یانگ  $E$  به صورت منفرد و فقط با اندازه‌گیری شیب قسمت اولیه و خطی

1 Fortran

2 Least squares

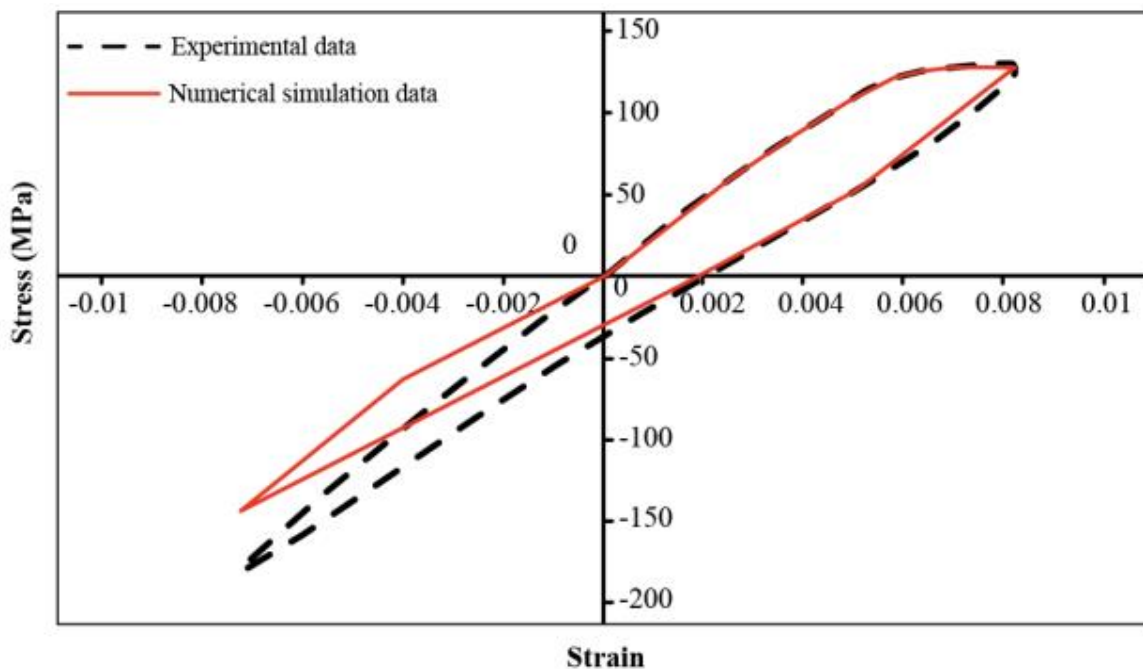
3 Coefficient of determination





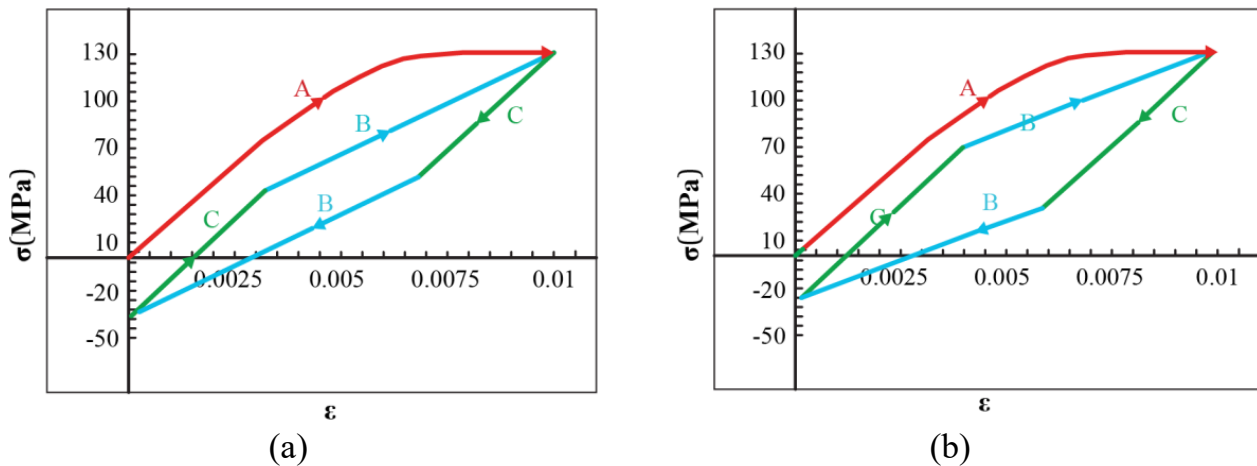
شکل ۴. منحنی تنش-کرنش مدل  $RI$  در مقایسه با آزمایش

Fig. 4. Model  $RI$  stress-strain curve compared to the experiment



شکل ۵. منحنی تنش-کرنش مدل  $RI \pm$  در مقایسه با آزمایش

Fig. 5. Model  $RI \pm$  stress-strain curve compared to the experiment



شکل ۶. منحنی سیکلی تنش- کرنش مربوط به مدل (b) و مدل (a) به همراه سه مُد تغییر شکل: مُد الاستیک (C)، مُد آسیب (A) و مُد پلاستیک (B)

Fig. 6. The stress-strain cyclic curve of Model (b) and Model (a) with three deformation modes: elastic mode (C), damage mode (A) and plastic mode (B)

شیب منحنی آزمایش سازگاری ندارد. به این دلیل که در مدل‌های ارائه شده، بازیابی مدول یانگ در انتقال از کشش به فشار، در نظر گرفته نشده است. این بازیابی در مدول یانگ در مرحله فشار به دلیل بسته شدن ترک‌های ایجاد شده در مرحله کشش است. این اثر را می‌توان با استفاده از یک ضریب اصلاحی در تعریف مدول یانگ ماده آسیب‌دیده در نظر گرفت [۴]:

$$w = \begin{cases} 1 & \text{if } \varepsilon \geq 0 \\ w_- & \text{if } \varepsilon < 0 \end{cases} \quad (6)$$

$$E_D = \frac{1-wD}{wD} E_0 \quad (7)$$

که  $w$  ضریب اصلاح مدول یانگ ماده آسیب‌دیده و  $E_D$  مدول یانگ آسیب‌دیده است. با در نظر گرفتن معادلات (۶) و (۷) در فرمول‌بندی و الگوریتم عددی مدل‌ها، روند قبلی تکرار خواهد شد. ضریب  $w_-$  به همان ترتیبی که ضرایب قبلی معین شدند، به دست می‌آید. با این تفاوت که با وارد شدن ضریب  $w$  به فرمول‌بندی‌ها، مقدار بهینه شده  $S^D$  نیز تغییر می‌کند. ضرایب به دست آمده برای مدل‌های اصلاح شده در جدول ۲ آمده است.

دسترس هستند، مدل‌ها را برای بررسی ویژگی منحصربه‌فرد بافت استخوان، می‌توان شبیه‌سازی عددی کرد. با شبیه‌سازی دو مدل  $RI \pm$  و  $RI$  در بارگذاری سیکلی کرنش کنترل با دامنه کرنش  $0/01$ ، این ویژگی که ناشی از انتخاب دو متغیر آسیب مجزا است، مشخص خواهد شد.

همان‌طور که در شکل ۶ مشهود است، قسمت مُد پلاستیک بارگذاری مجدد در منحنی سیکلی تنش-کرنش مربوط به مدل  $RI \pm$ ، در امتداد مبدأ مختصات قرار دارد اما مدل  $RI$  فاقد این ویژگی مختص بافت استخوان است. دلیل این تفاوت در تعداد متغیرهای آسیب و تابعیت سخت‌شوندگی پلاستیک به متغیرهای آسیب است. در مدل  $RI$  با افزایش پارامتر آسیب، سخت‌شوندگی پلاستیک در دو جهت کشش و فشار افزایش پیدا می‌کند ولی در مدل  $RI \pm$  با افزایش پارامتر آسیب کششی، سخت‌شوندگی پلاستیک فقط در جهت عکس آن یعنی فشار، افزایش می‌یابد و بالعکس با افزایش پارامتر آسیب فشاری، سخت‌شوندگی پلاستیک فقط در جهت عکس آن یعنی کشش، افزایش می‌یابد.

#### ۴- اصلاح مدل‌های یک‌بعدی

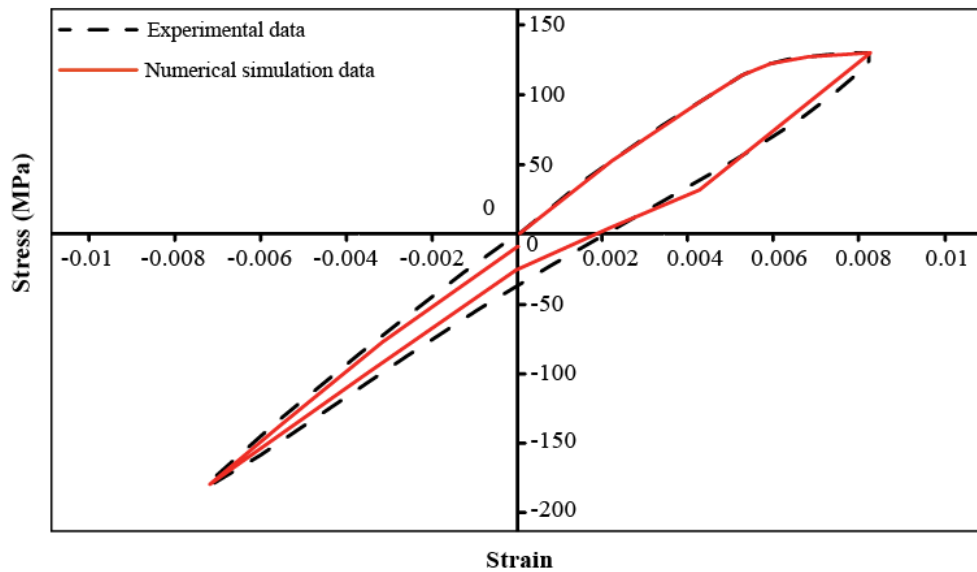
از نمودارهای ارائه شده در بخش دوم نتیجه‌گیری می‌شود که مدل‌ها در قسمت کششی، قابلیت نسبتاً مناسبی در پیش‌بینی داده‌های تجربی را دارند اما در قسمت فشاری این‌طور نیست. در قسمت فشاری شیب منحنی مدل با



جدول ۲. ضرایب اصلاحی مدل  $RI$  و  $RI \pm$

Table 2. Correction coefficients of models  $RI$  and  $RI \pm$

مدل $RI \pm$	مدل $RI$	واحد	ضرایب
۳/۶	۸/۹	مگاپاسکال	$S_-^D$
۰/۵	۰/۳	-	$w_-$



شکل ۷. منحنی تنش-کرنش مدل  $RI$  اصلاح شده در مقایسه با آزمایش

Fig. 7. Modified stress-strain curve of Model  $RI$  compared to the experiment

اسکالر باقی می‌مانند. بنابراین در این مدل، آسیب همسانگرد خواهد بود. به این معنا که اثر آسیب بر تمام ضرایب تانسور مرتبه چهارم سختی الاستیک به صورت یکسان است.

از معیار تسلیم برسلر- پیستر<sup>۱</sup> برای استفاده کاربردی از مدل استفاده می‌شود. این معیار برای بیان تابع تسلیمی که دارای استحکام متفاوت در کشش و فشار است، تحت بارگذاری چند محوره استفاده می‌شود [۲۰]. این معیار، معیاری تک ضابطه‌ای و بدون نقطه تکینی و دارای جمله‌ای برای نشان دادن تسلیم در وضعیت تنش هیدرواستاتیک فشاری است [۲۰]:

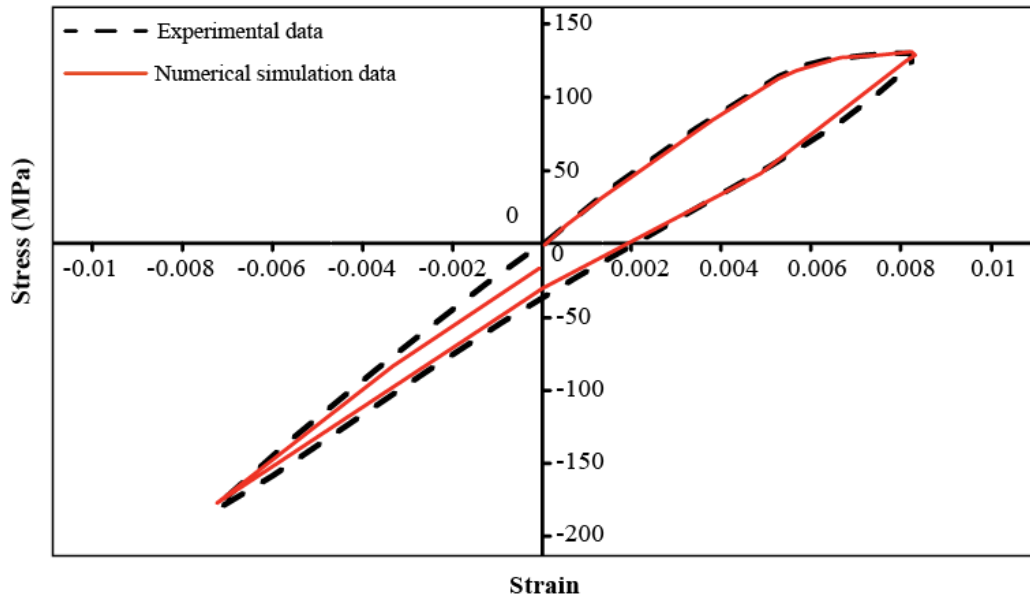
$$Y(\sigma, S_+, S_-) = \sqrt{3J_2} - c_1 I_1 - c_2 I_1^2 - c_3 \epsilon_0 \quad (8)$$

نتایج شبیه‌سازی عددی مدل‌های  $RI$  و  $RI \pm$  اصلاح شده در مقایسه با داده‌های تجربی، به ترتیب در شکل ۷ و شکل ۸ رسم شده‌اند، و ضریب تعیین به ترتیب برای مدل یک‌بعدی  $RI$  و  $RI \pm$  اصلاح شده مقادیر ۰/۹۹۵۵۰۸ و ۰/۹۹۶۲۷۹ بدست آمده و علت آن در نظر گرفتن اثر سرعت در المان پلاستیک و در المان آسیب است.

### ۵- سه بعد سازی و کاربرد

به جهت کاربرد، مدل یک‌بعدی آسیب مستقل از نرخ  $RI \pm$  به سه بعد تعمیم داده خواهد شد. این سه بعدی سازی، بر مبنای سه متغیر حالت درونی است. کرنش پلاستیک اسکالر  $\epsilon^p$  با تانسور مرتبه دوم متقارن  $\epsilon^p$  جایگزین می‌شود و برای سادگی متغیرهای آسیب  $D_+$  و  $D_-$  به صورت

1 Bresler-Piŝter yield criterion



شکل ۸. منحنی تنش- کرنش مدل  $RI \pm$  اصلاح شده در مقایسه با آزمایش

Fig. 8. Modified stress-strain curve of Model  $RI \pm$  compared to the experiment

معیار تسلیم برسلر- پیستر می‌تواند معیار مناسبی برای بیان آستانه تسلیم پلاستیک و آسیب استخوان در سه‌بعدی سازی مدل  $RI \pm$  باشد. شکل ۹ نحوه اتصال المان‌های رئولوژیک سه‌بعدی برای مدل الاستیک- پلاستیک و آسیب سه‌بعدی را نشان می‌دهد. در این مدل، سختی الاستیک فنر خطی اصلی برابر با تانسور مرتبه چهارم  $C$  است. در قیاس با مدل یک‌بعدی  $RI$ ، سختی فنر آسیب‌پذیر برابر با  $C_D = \frac{1-D}{D}C$  خواهد بود.

مدل رئولوژیک توسط سه متغیر مستقل،  $\epsilon$ ،  $\epsilon^P$  و  $D$  توصیف می‌شود. همانند حالت یک‌بعدی از افراز معمول کرنش به دو بخش الاستیک و پلاستیک  $\epsilon = \epsilon^e + \epsilon^P$  استفاده می‌شود. با فرض الاستیسیته همسانگرد، تانسور سختی توسط دو ضریب مشخص می‌گردد، معادلات (۱۲) و (۱۳):

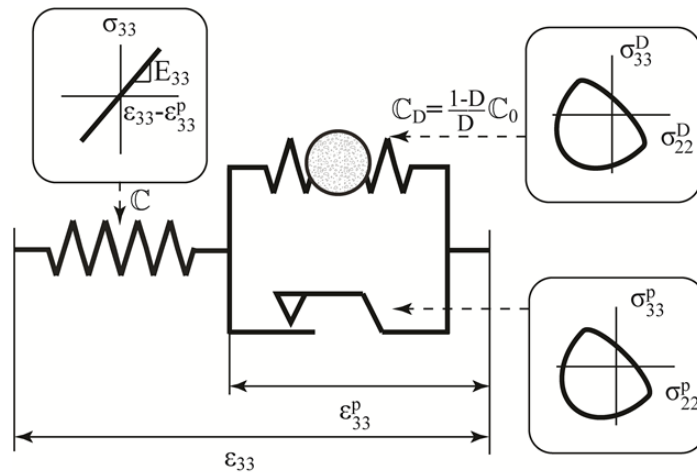
$$C = \begin{bmatrix} \lambda + 2\mu & \lambda & \lambda & 0 & 0 & 0 \\ \lambda & \lambda + 2\mu & \lambda & 0 & 0 & 0 \\ \lambda & \lambda & \lambda + 2\mu & 0 & 0 & 0 \\ 0 & 0 & 0 & 2\mu & 0 & 0 \\ 0 & 0 & 0 & 0 & 2\mu & 0 \\ 0 & 0 & 0 & 0 & 0 & 2\mu \end{bmatrix} \quad (12)$$

$$c_1 = \left( \frac{S_+ - S_-}{S_+ + S_-} \right) \left( \frac{4S_b^2 - S_b(S_+ + S_-) + S_+S_-}{4S_b^2 + 2S_b(S_+ - S_-) - S_+S_-} \right) \quad (9)$$

$$c_2 = \left( \frac{1}{S_+ + S_-} \right) \left( \frac{S_b(3S_+ + S_-) - 2S_+S_-}{4S_b^2 + 2S_b(S_+ - S_-) - S_+S_-} \right) \quad (10)$$

$$c_3 = S_- + c_1S_- - c_2S_-^2 \quad (11)$$

که  $I_1$  و  $J_2$  به ترتیب ناوردهای اصلی اول و دوم تنش هستند.  $c_1$ ،  $c_2$  و  $c_3$  ضرایب معیار می‌باشند که توسط استحکام‌های کششی  $S_+$ ، فشاری  $S_-$  و فشاری دومیحوره  $S_b$  معین می‌شوند. با توجه به معیارهای استفاده شده در کارهای قبلی انتخاب  $S_b = \frac{S_-}{\sqrt{2}}$  مناسب به نظر می‌رسد [۲۱]. این معیار پیاده‌سازی الگوریتم عددی قانون جریان را ساده می‌کند. همچنین تسلیم در این معیار، علاوه بر تنش نرمال کششی و تنش برشی به تنش نرمال فشاری نیز وابسته است. بنابراین این معیار در وضعیت تنش هیدرواستاتیک فشاری، ماده را دارای مقاومت محدود فرض می‌کند. در نتیجه



شکل ۹. آرایش المان‌های رئولوژیک قانون ساختاری سه‌بعدی برای استخوان کورتیکال

Fig. 9. Arrangement of rheological elements of three-dimensional structural law for cortical bone

$$\sigma_{\Psi}^p = -\partial_{\varepsilon^p} \Psi = \begin{cases} \mathbb{C} : \varepsilon - \frac{1}{D} \mathbb{C} : \varepsilon^p & \text{if } 0 < D < 1 \\ \text{Sym} & \text{if } D = 0 \end{cases} \quad (16)$$

$$\lambda = \frac{\nu E}{(1+\nu)(1-2\nu)}, \quad \mu = \frac{E}{2(1+\nu)} \quad (13)$$

که  $\lambda$  و  $\mu$  ضرایب لامه<sup>۱</sup> و  $\nu$  نسبت پواسون<sup>۲</sup> است.

انرژی پتانسیل آزاد مدل رئولوژیک برابر است با [۴]:

$$W_{\Psi}^D = -\partial_D \Psi = \begin{cases} \frac{1}{2D^2} \varepsilon^p : \mathbb{C} : \varepsilon^p & \text{if } 0 < D < 1 \\ [0, +\infty) & \text{if } D = 0 \end{cases} \quad (17)$$

$$\Psi(\varepsilon, \varepsilon^p, D) = \begin{cases} \frac{1}{2}(\varepsilon - \varepsilon^p) : \mathbb{C} : (\varepsilon - \varepsilon^p) + \frac{1}{2} \frac{1-D}{D} \varepsilon^p : \mathbb{C} : \varepsilon^p & \text{if } D > 0 \\ \mathbb{C} : \varepsilon + I_{\{0,1\}}(D) & \text{if } D = 0 \end{cases} \quad (14)$$

$W_{\Psi}^D$  انرژی آسیب، Sym نشان‌دهنده فضای تانسور متقارن مرتبه دوم است. تنش تعریف‌شده در فنر آسیب‌پذیر، برابر [۴]:

$$\sigma^D = \sigma_{\Psi} - \sigma_{\Psi}^p = \begin{cases} \mathbb{C}_D : \varepsilon^p & \text{if } 0 < D < 1 \\ \text{Sym} & \text{if } D = 0 \end{cases} \quad (18)$$

$I_{\{0,1\}}$  تابع نشانگر<sup>۳</sup>. قوانین حالتی که از انرژی پتانسیل آزاد به‌دست می‌آیند، برابر است با [۴]:

دوگان انرژی پتانسیل آزاد که از طریق تبدیل لژاندر-فونکل به‌دست می‌آید [۴]:

$$\sigma_{\Psi} = \partial_{\varepsilon} \Psi = \begin{cases} \mathbb{C} : (\varepsilon - \varepsilon^p) & \text{if } 0 < D < 1 \\ \mathbb{C} : \varepsilon & \text{if } D = 0 \end{cases} \quad (15)$$

- 
- 1 Lamé parameters
  - 2 Poisson's ratio
  - 3 Indicator function

$$\sigma_\phi^p = -\partial_{\dot{\varepsilon}^p} \Phi = \begin{cases} N^p(\dot{\varepsilon}^p) & \text{if } \dot{\varepsilon}^p > 0 \\ \{\sigma^p | Y^p(\sigma^p, D) < 0\} & \text{if } \dot{\varepsilon}^p = 0 \end{cases} \quad (26)$$

$$W_\phi^D = -\partial_D \Phi = \begin{cases} \emptyset & \text{if } \dot{D} < 0 \\ (-\infty, \phi'(\varepsilon, \varepsilon^p, D)] & \text{if } \dot{D} = 0 \\ \phi'(\varepsilon, \varepsilon^p, D) & \text{if } \dot{D} > 0 \end{cases} \quad (27)$$

که  $\phi'$  مشتق  $\phi$  نسبت به  $\dot{D}$  است، بنابراین برابر با  $h_\pm$  می‌شود. دوگان پتانسیل اتلاف نیز به همان روش مشابه، با تبدیل لژاندر-فنکل به دست می‌آید:

$$\begin{aligned} \Phi^*(\sigma^p, W^D; \varepsilon, \varepsilon^p, D) &= \\ \sigma^p : \dot{\varepsilon}^p + W^D \dot{D} - \Phi(\dot{\varepsilon}^p, \dot{D}; \varepsilon, \varepsilon^p, D) &\rightarrow \\ \Phi^*(\sigma^p, W^D; \varepsilon, \varepsilon^p, D) &= \\ I_{[-S^p(D), S^p(D)]}(Y^p(\sigma^p, D)) + I_{(-\infty, \phi'(\varepsilon, \varepsilon^p, D)]}(W^D) & \end{aligned} \quad (28)$$

قوانین جریان مربوط به متغیرهای درونی  $\dot{\varepsilon}^p$  و  $\dot{D}$ ، توسط مشتق‌گیری از پتانسیل اتلاف به دست می‌آیند:

$$\dot{\varepsilon}^p = \partial_{\sigma_\phi^p} \Phi^* = \begin{cases} 0 & \text{if } Y^p(\sigma^p, D) < 0 \\ A^p N^p(\sigma^p) & \text{if } Y^p(\sigma^p, D) = 0 \\ \emptyset & \text{if } Y^p(\sigma^p, D) > 0 \end{cases} \quad (29)$$

$$\dot{D} = -\partial_{W^D} \Phi^* = \begin{cases} 0 & \text{if } W^D < \phi'(\varepsilon, \varepsilon^p, D) \\ [0, +\infty) & \text{if } W^D = \phi'(\varepsilon, \varepsilon^p, D) \\ \emptyset & \text{if } W^D > \phi'(\varepsilon, \varepsilon^p, D) \end{cases} \quad (30)$$

که  $A^p$  ضریب لاگرانژ پلاستیسیته و  $N^p$  عمود برون‌سو بر سطح تسلیم پلاستیک در فضای تنش است. تابع تسلیم پلاستیک را می‌توان

$$\begin{aligned} \Psi^*(\sigma, \sigma^p, W^D) &= \\ \sigma : \varepsilon - \sigma^p : \dot{\varepsilon}^p - W^D \dot{D} - \Psi(\varepsilon, \varepsilon^p, D) & \quad (19) \\ \Psi^*(\sigma, \sigma^p, W^D) &= \frac{1}{2} \sigma : \mathbb{S} : \end{aligned}$$

با  $\mathbb{S} = \mathbb{C}^{-1}$ ، داریم [۴]:

$$\sigma - \frac{1}{2} \left( \sqrt{(\sigma - \sigma^p) : \mathbb{S} : (\sigma - \sigma^p)} - \sqrt{2W^D} \right)^2 \quad (20)$$

که  $\partial_\sigma \Psi^* = \varepsilon$ ،  $\partial_{\sigma^p} \Psi^* = \dot{\varepsilon}^p$  و  $\partial_{W^D} \Psi^* = \dot{D}$  می‌باشد. پتانسیل اتلاف به صورت زیر تعریف می‌شود [۴]:

$$\begin{aligned} \Phi(\dot{\varepsilon}^p, \dot{D}; \varepsilon, \varepsilon^p, D) &= \\ \Phi^p(\dot{\varepsilon}^p; D) + \Phi^D(\dot{D}; \varepsilon, \varepsilon^p, D) & \quad (21) \end{aligned}$$

$$\Phi^p(\dot{\varepsilon}^p; D) = Y^p(\dot{\varepsilon}^p, D) \quad (22)$$

$$\Phi^D(\dot{D}; \varepsilon, \varepsilon^p, D) = f(\dot{D}; \varepsilon, \varepsilon^p, D) + I_{[0, +\infty)}(\dot{D}) \quad (23)$$

$$\phi(\dot{D}; \varepsilon, \varepsilon^p, D) = h(D) \dot{D} \quad (24)$$

$$h(D) = \frac{Y^{D2}(D)}{2(1-D)^2} \quad (25)$$

که  $h(D)$  انرژی آستانه آسیب،  $Y^p(\dot{\varepsilon}^p, D)$  تابع تسلیم پلاستیک مطابق با معیار برسلا-پیستر در فضای نرخ کرنش است. قوانین مکمل یا معادلات ساختاری که از پتانسیل اتلاف به دست می‌آیند

[۴]:

به صورت معادله (۳۱) تعریف کرد:

$$Y^P(\sigma^P, D) = \sqrt{\sigma^P : \mathbb{H} : \sigma^P - c_1 I : \sigma^P - c_2 \sigma^P : \mathbb{L} : \sigma^P - c_3} \quad (31)$$

$\mathbb{H}$  و  $\mathbb{L}$  تانسور مرتبه چهارم معیار تسلیم برسلر- پیستر است. بنابراین قانون جریان در معادله (۲۹) را می توان به صورت زیر بازنویسی کرد:

$$\begin{cases} \dot{\varepsilon}^P = \Lambda^P N^P(\sigma^P), & N^P(\sigma^P) = \frac{\partial Y^P}{\partial \sigma^P}(\sigma^P) \\ Y^P(\sigma^P, D) \leq 0, & dY^P(\sigma^P, D) = 0 \end{cases} \quad (32)$$

به دست آمده، که ممکن است معیار  $W_T^D = W^D(\varepsilon^P, D.)$  پلاستیک یا آسیب را نقض کنند. اگر  $D = 0$  باشد، آن گاه  $\sigma_T^P$  و  $W_T^D$  تعریف نشده خواهند بود. بنابراین نمی توان معیارهای پلاستیک و آسیب را از نمود. این خلأ محاسباتی توسط تعریف معیار معادل کلی که وابسته به تنش کل است، برطرف می شود:

$$Y(\sigma_T, S_{\theta+}^D, S_{\theta-}^D) = \sqrt{\sigma_T : \mathbb{H} : \sigma_T - c_1 I : \sigma_T - c_2 \sigma_T : \mathbb{L} : \sigma_T - c_3} \quad (35)$$

هدف نهایی الگوریتم این است که در انتهای گام محاسباتی با  $\varepsilon$  معلوم،  $D$  و همچنین متغیرهای مزدوج متناظر  $\sigma$ ،  $\sigma^P$  و  $W^D$  به دست آیند، به طوری که معیارهای پلاستیک و آسیب برآورده شوند. به منظور جایگزین کردن ضرب ماتریسی با ضرب دونقطه ای و تانسوری و استفاده از ماتریس  $6 \times 6$  به جای تانسورهای متقارن مرتبه چهارم می توان از نحوه نمایش اصلاح شده برای تانسورهای مرتبه دوم استفاده کرد:

$$\sigma = \begin{Bmatrix} \sigma_{11} \\ \sigma_{22} \\ \sigma_{33} \\ \sqrt{2}\sigma_{12} \\ \sqrt{2}\sigma_{13} \\ \sqrt{2}\sigma_{23} \end{Bmatrix}, \quad \varepsilon = \begin{Bmatrix} \varepsilon_{11} \\ \varepsilon_{22} \\ \varepsilon_{33} \\ \sqrt{2}\varepsilon_{12} \\ \sqrt{2}\varepsilon_{13} \\ \sqrt{2}\varepsilon_{23} \end{Bmatrix} \quad (36)$$

لازم به ذکر است که این روش در ساده سازی ضرب دونقطه ای و تانسوری، فقط در مورد تانسورهای متقارن قابل اجرا است.

همانند مدل یک بعدی، سه مُد تغییر شکل وجود دارد:

(الف) مُد الاستیک:  $Y^D(W_T^D, \varepsilon, \varepsilon^P, D.) \leq 0$  و  $Y^P(\sigma_T^P, D.) \leq 0$

در این حالت،  $\dot{\varepsilon}^P \neq 0$  و  $\dot{D} = 0$  است، بنابراین  $\varepsilon^P = \varepsilon$ ،  $D = D$  و:

معادلات خط اول، قانون جریان مربوطه است که جهت نرخ کرنش پلاستیک را به عنوان عمود بر سطح دامنه الاستیک معرفی می کند. نامعادلات خط دوم، شرایط سازگاری و تسلیم پلاستیک هستند. با استفاده از معادله (۲۷) می توان دامنه غیرآسیب را به صورت زیر تعریف کرد:

$$Y^D(\sigma^D, \varepsilon, \varepsilon^P, D) = \sqrt{\sigma^D : \mathbb{H} : \sigma^D - c_1 I : \sigma^D - c_2 \sigma^D : \mathbb{L} : \sigma^D - c_3} \quad (33)$$

برای اجرای مدل در برنامه آنالیز اجزا محدود باید الگوریتم عددی افزایش متغیرهای مدل در هر گام محاسباتی بیان شود. در شروع هر گام محاسباتی، وضعیت مدل توسط سه پارامتر  $\varepsilon$ ،  $\varepsilon^P$  و  $D$  مشخص می شود. برای وقتی که  $D \neq 0$  است، متغیرهای مزدوج  $\sigma$ ،  $\sigma^P$  و  $W^D$  از قوانین حالت به دست خواهند آمد. در ابتدا گام محاسباتی باید هر دو معیار پلاستیک و آسیب برآورده شوند، یعنی:

$$\begin{cases} Y^P(\sigma_\theta^P, D_\theta) \leq 0 \\ Y^D(W_\theta^D, \varepsilon_\theta, \varepsilon_\theta^P, D_\theta) \leq 0 \end{cases} \quad (34)$$

با داشتن کرنش کل  $\varepsilon$  در انتهای گام محاسباتی، متغیرهای مزدوج امتحانی  $\sigma_T = \sigma(\varepsilon, \varepsilon^P)$  و  $\sigma_T^P = \sigma^P(\varepsilon^P, D.)$

$$A^p = D \frac{N^p : C : d\epsilon + Y^p \frac{N^p : C : \epsilon^p + D^2 Y^{p'}}{N^p : C : \epsilon^p - D^2 Y^{p'}} + Y^p}{N^p : C : N^p - (1-D) N^p : C : N^p \frac{N^p : C : \epsilon^p + D^2 Y^{p'}}{N^p : C : \epsilon^p - D^2 Y^{p'}}} \quad (43)$$

که  $Y^{p'}$  و  $Y^{D'}$  به ترتیب مشتق‌های توابع تسلیم پلاستیک و آستانه آسیب برحسب پارامتر آسیب درون متغیرهای استحکام است، که:

$$Y'(S_+, S_-) = -I : \sigma \left( \frac{\partial c_1}{\partial S_+} \frac{\partial S_+}{\partial D_{\pm}} + \frac{\partial c_1}{\partial S_-} \frac{\partial S_-}{\partial D_{\pm}} \right) - \sigma : \mathbb{L} : \sigma \left( \frac{\partial c_2}{\partial S_+} \frac{\partial S_+}{\partial D_{\pm}} + \frac{\partial c_2}{\partial S_-} \frac{\partial S_-}{\partial D_{\pm}} \right) - \left( \frac{\partial c_3}{\partial S_+} \frac{\partial S_+}{\partial D_{\pm}} + \frac{\partial c_3}{\partial S_-} \frac{\partial S_-}{\partial D_{\pm}} \right) \quad (44)$$

مشتق ضرایب در معادله (۴۴) نیز به ترتیب زیر به دست خواهند آمد:

$$\frac{\partial c_1}{\partial S_+} = \frac{S_- \left( (8-3\sqrt{2})S_-^2 + 2\sqrt{2}S_-S_+ + (4-3\sqrt{2})S_+^2 \right)}{2(S_- + S_+)^2 \left( (-2+\sqrt{2})S_- - (-1+\sqrt{2})S_+ \right)^2} \quad (45)$$

$$\frac{\partial c_1}{\partial S_-} = \frac{S_+ \left( (-8+3\sqrt{2})S_-^2 - 2\sqrt{2}S_-S_+ + (-4+3\sqrt{2})S_+^2 \right)}{2(S_- + S_+)^2 \left( (-2+\sqrt{2})S_- - (-1+\sqrt{2})S_+ \right)^2} \quad (46)$$

$$\frac{\partial c_2}{\partial S_+} = \frac{(-14+11\sqrt{2})S_-^2 - 2(-2+\sqrt{2})S_-S_+ + (-10+7\sqrt{2})S_+^2}{2(S_- + S_+)^2 \left( (-2+\sqrt{2})S_- - (-1+\sqrt{2})S_+ \right)^2} \quad (47)$$

$$\frac{\partial c_2}{\partial S_-} = \frac{(-1+\sqrt{2})S_-^2 - 2(-7+5\sqrt{2})S_-S_+ - (-1+\sqrt{2})S_+^2}{(S_- + S_+)^2 \left( (-2+\sqrt{2})S_- - (-1+\sqrt{2})S_+ \right)^2} \quad (48)$$

$$\frac{\partial c_3}{\partial S_+} = \frac{S_-^2 \left( (11-7\sqrt{2})S_-^2 + 2(-1+\sqrt{2})S_-S_+ + (7-5\sqrt{2})S_+^2 \right)}{(S_- + S_+)^2 \left( (-2+\sqrt{2})S_- - (-1+\sqrt{2})S_+ \right)^2} \quad (49)$$

$$\sigma = C : (\epsilon - \epsilon^p) \quad (37)$$

(ب) مُد پلاستیک:  
 $Y^D(W_T^D, \epsilon, \epsilon^p, D) \leq 0$  و  $Y^p(\sigma_T^p, D) > 0$   
 در این حالت،  $\dot{D} = 0$  و  $\dot{\epsilon}^p \neq 0$  است، بنابراین  $D = D$  و با استفاده از قانون جریان در معادله (۳۲) برای  $d\epsilon^p$  خواهیم داشت:

$$d\epsilon^p = A^p N^p (\sigma^p) \quad (38)$$

$$\epsilon^p = \epsilon_0^p + d\epsilon^p \quad (39)$$

با استفاده از معادلات (۳۸) و (۳۹)، شرایط سازگاری و بسط تیلور<sup>۱</sup> تابع تسلیم حول نقطه اولیه:

$$\epsilon^p = \epsilon_0^p + D \frac{N^p : C : d\epsilon + Y^p}{N^p : C : N^p} N^p \quad (40)$$

در اینجا  $\epsilon^p$  نهایی توسط یک الگوریتم تکراری به دست خواهد آمد.  
 (ج) مُد آسیب:  
 $Y^D(W_T^D, \epsilon, \epsilon^p, D) > 0$  و  $Y^p(\sigma_T^p, D) > 0$   
 در این حالت،  $\dot{D} \neq 0$  و  $\dot{\epsilon}^p \neq 0$  است و علاوه بر برقرار بودن معادلات (۳۸) و (۳۹) داریم:

$$D_{\pm} = D_{\pm 0} + dD_{\pm} \quad (41)$$

با بسط تیلور تابع تسلیم پلاستیک و تابع آستانه آسیب حول نقطه اولیه:

$$dD_{\pm} = D \frac{(1-D)A^p N^p : C : N^p + DY^D}{N^p : C : \epsilon^p - D^2 Y^{p'}} \quad (42)$$

1 Taylor series



با ترکیب دو معادله (۵۴) و (۵۵):

$$d\sigma = \left( \mathbb{C} - \mathbf{D} \frac{\mathbb{C} : \mathbf{N}^p \otimes \mathbb{C} : \mathbf{N}^p}{\mathbf{N}^p : \mathbb{C} : \mathbf{N}^p} \right) : d\varepsilon \quad (56)$$

بنابراین:

$$\mathbb{J} = \mathbb{C} - \mathbf{D} \frac{\mathbb{C} : \mathbf{N}^p \otimes \mathbb{C} : \mathbf{N}^p}{\mathbf{N}^p : \mathbb{C} : \mathbf{N}^p} \quad (57)$$

(ج) مُد آسیب: حالت  $\dot{\mathbf{D}} \neq 0$  و  $\dot{\varepsilon}^p \neq 0$

با بسط تیلور توابع تسلیم پلاستیک و آستانه آسیب حول نقطه صفر:

$$\left\{ \begin{array}{l} dY^p(\sigma^p, \mathbf{D}_\pm) = 0 \rightarrow \frac{\partial Y^p}{\partial \sigma^p} : \frac{\partial \sigma^p}{\partial \varepsilon} : \\ d\varepsilon + \frac{\partial Y^p}{\partial \sigma^p} : \frac{\partial \sigma^p}{\partial \varepsilon^p} : d\varepsilon^p + \frac{\partial Y^p}{\partial \sigma^p} : \\ \frac{\partial \sigma^p}{\partial \mathbf{D}_\pm} d\mathbf{D}_\pm + \frac{\partial Y^p}{\partial \mathbf{D}_\pm} d\mathbf{D}_\pm = 0 \end{array} \right. \quad (58)$$

$$\left\{ \begin{array}{l} dY^D(\sigma^D, \mathbf{D}_\pm) = 0 \rightarrow \frac{\partial Y^D}{\partial \sigma^D} : \frac{\partial \sigma^D}{\partial \varepsilon^p} : \\ d\varepsilon^p + \frac{\partial Y^D}{\partial \sigma^D} : \frac{\partial \sigma^D}{\partial \mathbf{D}_\pm} d\mathbf{D}_\pm + \frac{\partial Y^D}{\partial \mathbf{D}_\pm} d\mathbf{D}_\pm = 0 \end{array} \right.$$

با ساده‌سازی و اعمال قانون جریان:

$$\left\{ \begin{array}{l} \mathbf{N}^p : \mathbb{C} : d\varepsilon - \frac{\mathbf{A}^p}{\mathbf{D}} \mathbf{N}^p : \mathbb{C} : \mathbf{N}^p + \frac{1}{\mathbf{D}^2} \mathbf{N}^p : \\ \mathbb{C} : \varepsilon^p d\mathbf{D}_\pm + \mathbf{Y}^p d\mathbf{D}_\pm = 0 \\ \frac{(1-\mathbf{D})\mathbf{A}^p}{\mathbf{D}} \mathbf{N}^D : \mathbb{C} : \mathbf{N}^p - \frac{1}{\mathbf{D}^2} \mathbf{N}^D : \mathbb{C} : \\ \varepsilon^p d\mathbf{D}_\pm + \mathbf{Y}^D d\mathbf{D}_\pm = 0 \end{array} \right. \quad (59)$$

با حل دستگاه معادلات (۵۹) داریم:

$$\frac{\partial \varepsilon_3}{\partial S_2} = - \frac{S_+^2 (5(-2+\sqrt{2})S_+^2 + 2(14-11\sqrt{2})S_+S_+ + (-2+\sqrt{2})S_+^2)}{2(S_- + S_+)^2 ((-2+\sqrt{2})S_- - (-1+\sqrt{2})S_+)^2} \quad (50)$$

بنابراین  $\mathbf{A}^p$ ،  $\mathbf{D}_+$  و  $\mathbf{D}_-$  با یک الگوریتم تکراری به صورت هم‌زمان به دست خواهند آمد. در هر گام محاسباتی برای تعیین وضعیت کشش و فشار از علامت عبارت  $\mathbf{n}(\varepsilon, \varepsilon^p)$  استفاده شده، که در حالت الاستیسیته همسانگرد  $\mathbf{n}(\varepsilon) = \varepsilon_{11} + \varepsilon_{22} + \varepsilon_{33}$  است.

تانسور ژاکوبین پیوسته  $\mathbb{J}$  مقدار نمو تنش به نسبت نمو کرنش را مشخص می‌کند. در این بخش تانسور ژاکوبین پیوسته در سه مُد الاستیک، پلاستیک و آسیب در نظر گرفته شده است.

(الف) مُد الاستیک: حالت  $\dot{\mathbf{D}} = 0$  و  $\dot{\varepsilon}^p = 0$

در این حالت  $d\varepsilon^p = 0$  است، بنابراین:

$$\sigma = \mathbb{C} : (\varepsilon - \varepsilon^p) \rightarrow d\sigma = \mathbb{C} : d\varepsilon \quad (51)$$

$$\mathbb{J} = \mathbb{C} \quad (52)$$

(ب) مُد پلاستیک: حالت  $\dot{\mathbf{D}} = 0$  و  $\dot{\varepsilon}^p \neq 0$

در این حالت  $d\mathbf{D}_\pm = 0$  است، بنابراین با بسط تیلور تابع تسلیم

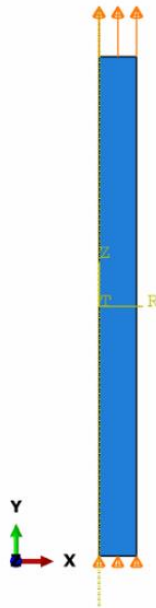
پلاستیک حول نقطه صفر:

$$dY^p(\sigma^p, \mathbf{D}_0) = 0 \rightarrow \frac{\partial Y^p}{\partial \sigma^p} : d\sigma^p = 0 \rightarrow \quad (53)$$

$$\mathbf{N}^p : \left( \mathbb{C} : d\varepsilon - \frac{\mathbf{A}^p}{\mathbf{D}} \mathbb{C} : \mathbf{N}^p \right) = 0$$

$$\mathbf{A}^p = \mathbf{D} \frac{\mathbf{N}^p : \mathbb{C} : d\varepsilon}{\mathbf{N}^p : \mathbb{C} : \mathbf{N}^p} \quad (54)$$

$$\mathbf{A}^p = \mathbf{D} \frac{\mathbf{N}^p : \mathbb{C} : d\varepsilon}{\mathbf{N}^p : \mathbb{C} : \mathbf{N}^p} \quad (55)$$



شکل ۱۰. شرایط مرزی و بارگذاری روی مدل متقارن محوری نمونه استخوان مورد آزمایش

Fig. 10. Boundary conditions and loading on the axial symmetric model of the bone sample being tested

شده است. همچنین کانتورهای تنش نرمال در راستای محوری برحسب مگاپاسکال و جابجایی در راستای محوری برحسب میلی‌متر برای نمونه استخوان شبیه‌سازی شده بعد از اعمال بیش‌ترین کشش، رسم شده است. به دلیل خطی بودن هندسه‌ی مدل در راستای بارگذاری، توزیع تنش نرمال در راستای محوری کاملاً یکنواخت است.

نتیجه شبیه‌سازی مدل سه‌بعدی  $RI \pm$  به‌همراه نتیجه شبیه‌سازی مدل یک‌بعدی  $RI \pm$  در شکل ۱۲ آمده است. با مقایسه دو نوع شبیه‌سازی، مشاهده می‌شود که فرمول‌بندی مدل سه‌بعدی صحیح است. اندک تفاوت بین دو منحنی می‌تواند مربوط به دو علت باشد، یک علت مربوط به اثر نسبت پواسون در سه‌بعدی سازی و تأثیرپذیری تنش نرمال در راستای محوری از کرنش‌های جانبی است و علت دیگر خطای محاسبات عددی در توابع تسلیم پلاستیک و آستانه آسیب است. این دو علت بیان شده، باعث می‌شود که مدل سه‌بعدی  $RI \pm$  برخلاف مدل یک‌بعدی  $RI \pm$  در مرحله آخر بارگذاری سیکلی از مبدأ مختصات عبور نکند و در کرنش برابر صفر، تنش برابر صفر نباشد. این قسمت از مدل سه‌بعدی  $RI \pm$  با داده تجربی ارائه‌شده در شکل ۲ در تناقض است. از این نظر، مدل یک‌بعدی  $RI \pm$  نسبت به مدل

$$A^p = D \frac{N^p : C : d\epsilon}{N^p : C : N^p - (I - D) N^D : C : N^p \frac{N^p : C : \epsilon^p + D^2 Y^{p'}}{N^D : C : \epsilon^p - D^2 Y^{D'}}} \quad (60)$$

و با ترکیب معادله (۵۵) و معادله (۶۰):

$$d\sigma = \left( C - D \frac{C : N^p \otimes C : N^p}{N^p : C : N^p - (I - D) N^D : C : N^p \frac{N^p : C : \epsilon^p + D^2 Y^{p'}}{N^D : C : \epsilon^p - D^2 Y^{D'}}} \right) : d\epsilon \quad (61)$$

بنابراین:

$$d\sigma = \left( C - D \frac{C : N^p \otimes C : N^p}{N^p : C : N^p - (I - D) N^D : C : N^p \frac{N^p : C : \epsilon^p + D^2 Y^{p'}}{N^D : C : \epsilon^p - D^2 Y^{D'}}} \right) : d\epsilon \quad (62)$$

که  $Y^p$  تابع تسلیم پلاستیک،  $Y^D$  تابع آستانه آسیب و  $N^D$  عمود برون‌سو معیار آسیب است.

با پیاده‌سازی الگوریتم عددی به‌روش صریح<sup>۱</sup> مدل  $RI \pm$  سه‌بعدی، می‌توان شبیه‌سازی عددی یک‌بعدی را در حالت سه‌بعدی تکرار کرد و با مقایسه نتایج هر دو شبیه‌سازی یک‌بعدی و سه‌بعدی، درستی فرمول‌بندی مدل سه‌بعدی بررسی خواهد شد. کُد الگوریتم عددی مدل سه‌بعدی  $RI \pm$  در قالب زیرروال ویومت<sup>۲</sup> مربوط به نرم‌افزار آباکوس پیاده‌سازی شده است. نمونه استخوان به‌صورت یک مدل متقارن محوری در نرم‌افزار آباکوس با استفاده از مدل ماده تعریف شده در قالب ویومت پیاده‌سازی می‌شود. شرایط مرزی و بارگذاری روی مدل در شکل ۱۰ نشان داده شده است. بارگذاری به‌صورت جابجایی کنترل است که به‌شکل یک سیکل کامل بین دو مقدار جابجایی مینیمم  $-0.14660$  میلی‌متر و جابجایی ماکزیمم  $0.16432$  میلی‌متر است. این مقدار جابجایی‌ها برای نمونه حاضر به‌ترتیب معادل کرنش مینیمم  $-0.00733$  و کرنش ماکزیمم  $0.00822$  می‌باشند.

مقدار نسبت پواسون استخوان کورتیکال  $0.3168$  و مقدار چگالی  $2/06$  گرم بر سانتی‌مترمکعب در نظر گرفته می‌شود [۲۲]. همان‌طور که در شکل ۱۱ نمایان است از ۶۰ المان برای گسسته‌سازی مدل متقارن محوری استفاده

1 Explicit  
2 VUMAT



شکل ۱۱. کانتور تنش نرمال در راستای محوری (a) و کانتور جابجایی در راستای محوری (b) برای مدل سه‌بعدی  $RI \pm$   
**Fig. 11. Normal stress contour in the axial direction (a) and displacement contour in the axial direction (b) for the  $RI \pm$  model**

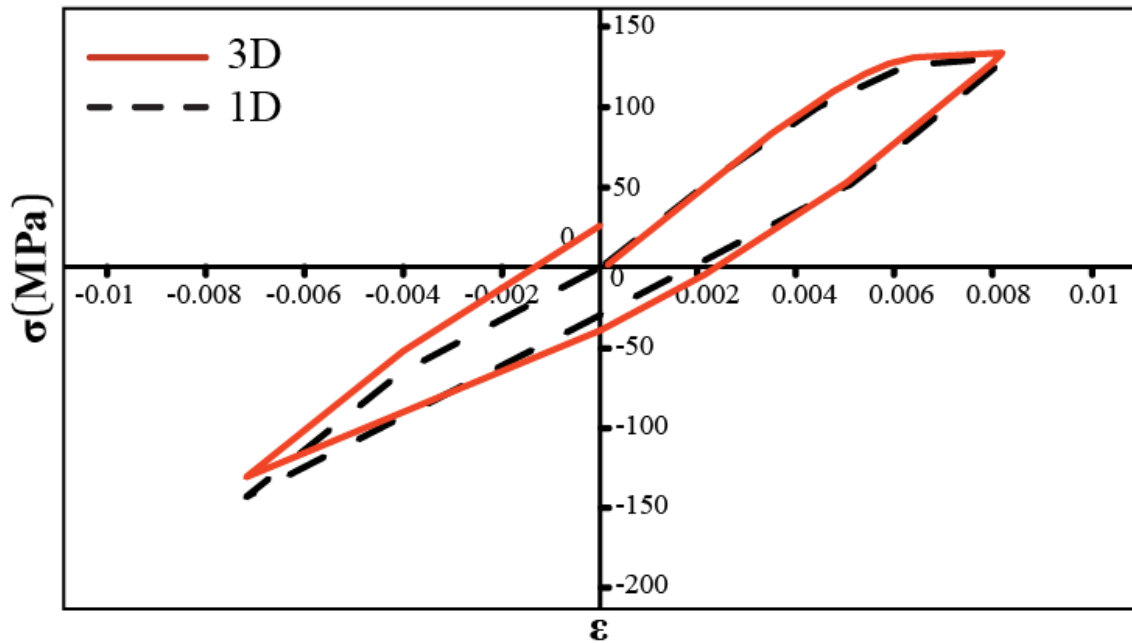
سه‌بعدی شده است، بنابراین در بارگذاری‌های سیکلی پتانسیل رسیدن به پیش‌بینی‌های دقیق‌تری را دارا می‌باشد.

### ۶- نتیجه‌گیری

هدف از این تحقیق توسعه قانون ساختاری جدید برای بافت استخوان کورتیکال در بارگذاری سیکلی و نرخ کرنش فیزیولوژیکی می‌باشد. ابتدا یک مدل یک‌بعدی مستقل از نرخ با ترکیب المان‌های رئولوژیک و با استفاده از روش مواد استاندارد عمومی و اصول انرژی بررسی شده است، این فرمول‌بندی بر مبنای دو متغیر حالت درونی است: متغیر آسیب، چگالی میکروتکرک‌ها که عامل کاهش سختی بافت است را نشان می‌دهد و متغیر کرنش پلاستیک که نشان‌دهنده تغییر شکل میکروتکرک‌های مربوطه است. ضرایب مربوط به هر مدل توسط تطابق با داده‌های آزمایشگاهی محاسبه و سپس نتایج عددی هر مدل با داده‌های تجربی مقایسه شده است. در مدل‌های یک‌بعدی، ضریبی اصلاحی برای مدول در نظر گرفته شده است. این ضریب، پدیده بازیابی سختی ماده در انتقال از حالت کشش به فشار که حاصل بسته شدن میکروتکرک‌ها است را در منحنی تنش-کرنش ایجاد می‌کند. با استفاده از روش حداقل مربعات و داده‌های تجربی، گدهای بهینه‌سازی ایجاد شده است که توسط آن‌ها ضرایب هر یک از مدل‌های یک‌بعدی به صورت بهینه به‌دست آمده است. با ترکیب معیار تسلیم برسلر-پیستر و مدل یک‌بعدی

سه‌بعدی  $RI \pm$ ، سازگاری بیشتری با داده‌های تجربی دارد. ضریب تعیین برای مدل سه‌بعدی نسبت به مدل یک‌بعدی مقدار  $0.984866$  بدست آمده و علل اختلاف آن، اثر نسبت پواسن، الاستیسیته همسانگرد در مدل سه‌بعدی و هم‌چنین متغیر آسیب اسکالری در نظر گرفته شده است.

بنابراین از نقاط قوت این پژوهش، در مقایسه با مدل‌های مشهور استفاده شده برای بافت استخوان همانند مدل جانسون-کوک [۲۳]، در نظر گرفتن بازیابی مدول یانگ بافت استخوان تحت بارگذاری معکوس، تفاوت رفتار ساختاری بین حالت کشش و فشار و از مبدأ عبور کردن نمودار تنش-کرنش به‌عنوان رفتاری منحصر بفرد برای بافت استخوان است. برتری دیگر مدل سه‌بعدی ارائه شده در پژوهش حاضر نسبت به مدل ارائه شده توسط گارسیا [۵]، نوع سه‌بعدی‌سازی مدل ساختاری است. در مدل گارسیا از معیار ون میزز برای سه‌بعدی‌سازی مدل رئولوژیکی یک‌بعدی استفاده شده، که تفاوت رفتار آسیب بافت استخوان بین حالت کشش و فشار را در نظر نمی‌گیرد، بنابراین از مدل یک‌بعدی با یک متغیر آسیب به منظور رسیدن به یک مدل سه‌بعدی استفاده شده است، اما در پژوهش حاضر برای در نظر گرفتن تفاوت رفتار بافت استخوان بین حالت کشش و فشار از معیار برسلر-پیستر به‌منظور سه‌بعدی‌سازی استفاده شده است. این معیار با توجه به امکان در نظر گرفتن ناهمسانگردی در حالت کشش و فشار، امکان استفاده از مدل یک‌بعدی با دو متغیر آسیب کششی و فشاری را فراهم می‌آورد که باعث حصول مدل



شکل ۱۲. مقایسه نتایج شبیه‌سازی مدل سه‌بعدی  $RI \pm$  با مدل یک‌بعدی  $RI \pm$

Fig. 12. Comparison of simulation results of three-dimensional model  $RI \pm$  with one-dimensional model  $RI \pm$  with one-dimensional model

- [3] T. Kraiem, A. Barkaoui, T. Merzouki, M. Chafra, Computational approach of the cortical bone mechanical behavior based on an elastic viscoplastic damageable constitutive model, *International Journal of Applied Mechanics*, 12(07) (2020) 2050081.
- [4] D. Garcia, Elastic plastic damage laws for cortical bone, EPFL, 2006.
- [5] D. Garcia, P.K. Zysset, M. Charlebois, A. Curnier, A three-dimensional elastic plastic damage constitutive law for bone tissue, *Biomechanics and modeling in mechanobiology*, 8(2) (2009) 149-165.
- [6] D. Garcia, P.K. Zysset, M. Charlebois, A. Curnier, A 1D elastic plastic damage constitutive law for bone tissue, *Archive of Applied Mechanics*, 80(5) (2010) 543-555.
- [7] M. Lovrenić-Jugović, Z. Tonković, I. Skozrit, Experimental and numerical investigation of cyclic creep and recovery behavior of bovine cortical bone,

مستقل از نرخ همراه دو متغیر آسیب، مدل سه‌بعدی متناظر حاصل شد. این مدل سه‌بعدی در قالب روش اجزاء محدود صریح پیاده‌سازی شده و نتیجه آن با نتایج شبیه‌سازی مدل یک‌بعدی و داده‌های تجربی سازگاری قابل قبولی دارد. این مدل سه‌بعدی مناسب شبیه‌سازی هندسه‌های پیچیده خواهد بود.

### تشکر و قدردانی

بدین‌وسیله نویسندگان مقاله مراتب تشکر خود را از دانشگاه اراک بابت گرنت به شماره ۹۶/۱۵۵۷۹ که برای انجام این پژوهش صرف شده است، اعلام می‌دارند.

### منابع

- [1] S.C. Cowin, Bone poroelasticity, *Journal of biomechanics*, 32(3) (1999) 217-238.
- [2] T.A. Predey, L.E. Sewall, S.J. Smith, Percutaneous Vertebroplasty: New Treatment for Vertebral Compression Fractures, *American Family Physician*, 66(4) (2002) 611-616.

- viscoplastic damage model for bone tissue, *Biomechanics and modeling in mechanobiology*, 12(2) (2013) 201-213.
- [16] D. Remache, M. Semaan, J.-M. Rossi, M. Pithioux, J.-L. Milan, Application of the Johnson-Cook plasticity model in the finite element simulations of the nanoindentation of the cortical bone, *Journal of the mechanical behavior of biomedical materials*, 101 (2020) 103426.
- [17] V. Prasannavenkadesan, P. Pandithevan, JOHNSON-COOK MODEL COMBINED WITH COWPER-SYMONDS MODEL FOR BONE CUTTING SIMULATION WITH EXPERIMENTAL VALIDATION, *Journal of Mechanics in Medicine and Biology*, 21(02) (2021) 2150010.
- [18] J. Lei, L. Li, Z. Wang, F. Zhu, Characterizing strain rate-dependent mechanical properties for bovine cortical bones, *Journal of biomechanical engineering*, 142(9) (2020).
- [19] P.K. Zysset, U. Wolfram, A rate-independent continuum model for bone tissue with interaction of compressive and tensile micro-damage, *Journal of the mechanical behavior of biomedical materials*, 74 (2017) 448-462.
- [20] B. Bresler, K.S. Pister, Strength of concrete under combined stresses, in: *Journal Proceedings*, 1958, pp. 321-345.
- [21] D. Garcia, Elastic plastic damage constitutive laws for cortical bone, *Ecole Polytechnique Fédérale de Lausanne (EPFL)*, 2006.
- [22] T.P. Ng, S.S.R. Kolor, J.R.P. Djuansjah, M.R.A. Kadir, Assessment of compressive failure process of cortical bone materials using damage-based model, *Journal of the Mechanical Behavior of Biomedical Materials*, 66 (2017) 1-11.
- [23] K. Alam, M. Khan, V.V. Silberschmidt, 3D finite-element modelling of drilling cortical bone: Temperature analysis, *J Med Biol Eng*, 34(6) (2014) 618-623.
- Mechanics of Materials*, 146 (2020) 103407.
- [8] Z. Li, J. Wang, G. Song, C. Ji, X. Han, Anisotropic and strain rate-dependent mechanical properties and constitutive modeling of the cancellous bone from piglet cervical vertebrae, *Computer methods and programs in biomedicine*, 188 (2020) 105279.
- [9] C.-S. Lee, J.-M. Lee, B. Youn, H.-S. Kim, J.K. Shin, T.S. Goh, J.S. Lee, A new constitutive model for simulation of softening, plateau, and densification phenomena for trabecular bone under compression, *Journal of the mechanical behavior of biomedical materials*, 65 (2017) 213-223.
- [10] M. Pawlikowski, K. Jankowski, K. Skalski, New microscale constitutive model of human trabecular bone based on depth sensing indentation technique, *Journal of the mechanical behavior of biomedical materials*, 85 (2018) 162-169.
- [11] M.J. Mirzaali, A. Bürki, J. Schwiedrzik, P.K. Zysset, U. Wolfram, Continuum damage interactions between tension and compression in osteonal bone, *Journal of the mechanical behavior of biomedical materials*, 49 (2015) 355-369.
- [12] T.P. Ng, S. Kolor, J. Djuansjah, M.A. Kadir, Assessment of compressive failure process of cortical bone materials using damage-based model, *Journal of the mechanical behavior of biomedical materials*, 66 (2017) 1-11.
- [13] Q. Rong, Q. Luo, Inelastic Modelling of Bone Damage Under Compressive Loading, in: *Intelligent Life System Modelling, Image Processing and Analysis*, Springer, 2021, pp. 211-220.
- [14] M. Pawlikowski, K. Barcz, Non-linear viscoelastic constitutive model for bovine cortical bone tissue, *Biocybernetics and biomedical engineering*, 36(3) (2016) 491-498.
- [15] J.J. Schwiedrzik, P. Zysset, An anisotropic elastic-

چگونه به این مقاله ارجاع دهیم

*M. Nasiri, M. Zolfaghari, V. Tahmasbi, H. Heydari, Numerical Investigation of Elastoplastic and Damage Behavior of Cortical Bone by Applying a New Damage Model, Amirkabir J. Mech Eng., 54(6) (2022) 1423-1442.*

**DOI:** [10.22060/mej.2022.20773.7310](https://doi.org/10.22060/mej.2022.20773.7310)

